

А. Л. ЦЕРКЛЕВИЧ, Ю. П. ДЕЙНЕКА

# ОЦЕНКА ЛАТЕРАЛЬНЫХ НЕОДНОРОДНОСТЕЙ ПЛОТНОСТИ В ВЕРХНЕМ СЛОЕ ЗЕМЛИ

Потребность в разработке новых методов обнаружения полезных ископаемых ставит перед исследователями задачу построения комплексной геолого-геофизической модели коры и верхней мантии. При решении этой задачи возникает необходимость постановки и решения обратной задачи гравиметрии (ОЗГ) с учетом сферичности планеты.

Ниже рассматриваем однопараметрическую обратную задачу определения латеральных плотностных неоднородностей в слое Земли, охватывающем ее кору и верхнюю мантию.

**Постановка задачи и алгоритм ее решения.** Будем решать указанную ОЗГ в классе выбранной модели, которой является сферическая четырехугольная (треугольная) усеченная пирамида однородной плотности. Разобъем шаровой слой Земли на  $\{S_i\}$ ,  $i=1, \bar{N}$  сферических четырехугольных (в полярных областях треугольных) усеченных соприкасающихся пирамид, ограниченных координатными поверхностями  $\Theta_{1i}, \Theta_{2i}, \lambda_{1i}, \lambda_{2i}, r_{1i}, r_{2i}$ . Пусть исходной информацией для данной задачи служат значения аномального вертикального градиента потенциала

притяжения  $\Delta V'_i$ , усредненные по прямоугольным трапециям на поверхности планеты. Требуется определить среднюю плотность  $\delta_i$  для каждой сферической усеченной пирамиды при условии, что число искомых плотностей равно числу задаваемых значений  $\Delta V'_i$  (равномощная обратная задача [1]).

Вертикальный градиент потенциала притяжения  $i$ -й сферической усеченной пирамидой произвольной точки пространства  $P$  можно описать соотношением

$$V'(R_p, \Theta_p, \lambda_p) = f \bar{\delta}_i \int_{r_{1i}}^{r_{2i}} \int_{\Theta_{1i}}^{\Theta_{2i}} \int_{\lambda_{1i}}^{\lambda_{2i}} \frac{r^2(R_p - r \cos \psi)}{\rho^3} \sin \Theta d\Theta d\lambda dr, \quad (1)$$

где

$$\rho = (R_p^2 + r^2 - 2rR_p \cos \psi)^{1/2}, \quad (2)$$

$$\cos \Psi = \cos \Theta_p \cos \Theta + \sin \Theta_p \sin \Theta \cos (\lambda_p - \lambda). \quad (3)$$

Величину  $(R_p - r \cos \psi)/\rho^3$ , входящую в подынтегральное выражение (1), выгодно разложить в ряд по полиномам Лежандра

$$(R_p - r \cos \Psi)/\rho^3 = \sum_{n=0}^{\infty} (n+1) r^n P_n(\cos \Psi)/R_p^{n+2}. \quad (4)$$

Учитывая разложение (4), формулу для вертикального градиента потенциала от суммарного притяжения  $N$  сферических усеченных пирамид на произвольную точку  $P$  представим в таком окончательном виде:

$$V'(R_p, \Theta_p, \lambda_p) = f \sum_{i=1}^N \bar{\delta}_i \sum_{n=0}^{\infty} \frac{(n+1)}{(2n+1)(n+3)} \frac{R^{n+3} - (R-h)^{n+3}}{R^{n+2}} \times \\ \times \sum_{m=0}^n [\bar{R}'_{nm}(\Theta_p, \lambda_p) \bar{R}_{nm}(\Theta_i, \lambda_i) + \bar{S}'_{nm}(\Theta_p, \lambda_p) \bar{S}_{nm}(\Theta_i, \lambda_i)], \quad (5)$$

где

$$\left. \begin{aligned} \bar{R}'_{nm}(\Theta_p, \lambda_p) \\ \bar{S}'_{nm}(\Theta_p, \lambda_p) \end{aligned} \right\} = \bar{P}_{nm}(\cos \Theta_p) \frac{\cos m\lambda_p}{\sin m\lambda_p}, \quad (6)$$

$$\left. \begin{aligned} \bar{R}_{nm}(\Theta_i, \lambda_i) \\ \bar{S}_{nm}(\Theta_i, \lambda_i) \end{aligned} \right\} = \int_{\sigma_i}^{\Theta_i} \int_{\lambda_i}^{\lambda} \bar{P}_{nm}(\cos \Theta_i) \sin \Theta \frac{\cos m\lambda_i}{\sin m\lambda_i} d\Theta_i d\lambda_i. \quad (7)$$

Здесь принято  $r = R_p = R$  — средний радиус планеты;  $h$  — высота пирамиды;  $\sigma_i$  — площадь основания на поверхности планеты  $i$ -й пирамиды;  $P_{nm}(\cos \Theta)$  — нормированные присоединенные полиномы Лежандра,  $\bar{P}_{nm}(\cos \Theta)$  и

$$\int_{\Theta_{1i}}^{\Theta_{2i}} P_{nm}(\cos \Theta) \sin \Theta d\Theta$$

удобно вычислять по рекуррентным соотношениям [8].

Значения аномального вертикального градиента потенциала притяжения  $\Delta \bar{V}_j'$ , усредненного по прямоугольным трапециям  $\sigma_j$  на поверхности планеты, определим из соотношения

$$\Delta \bar{V}_j' = \frac{fM}{R^2 \sigma_j} \sum_{n=2}^N (n+1) \sum_{m=0}^n [\bar{c}_{nm}^* \bar{R}_{nm}'(\Theta_j, \lambda_j) + \bar{s}_{nm} \bar{S}_{nm}'(\Theta_j, \lambda_j)], \quad (8)$$

где  $\bar{c}_{nm}^*$ ,  $\bar{s}_{nm}$  — гармонические коэффициенты, характеризующие модель гравитационного поля планеты, представляемую в виде разложения потенциала притяжения по шаровым функциям;  $fM$  — планетоцентрическая постоянная.

Таким образом, на основании заданной совокупности сферических усеченных пирамид  $\{S_i\}$  и значений  $\{\Delta \bar{V}_j'\}$ ,  $i, j=1, N$  можем записать систему линейных уравнений для определения  $\delta_i$

$$\sum_{i=1}^N V_{ji} \delta_i = \Delta \bar{V}_j'. \quad (9)$$

Для удобства представим систему уравнений (9) в виде операторного уравнения первого рода

$$Ax = b, \quad (10)$$

где  $x \in H_1$  — искомый элемент;  $b \in H_2$  — заданный элемент;  $A$  — произвольный (линейный вполне непрерывный) оператор;  $H_1$  и  $H_2$  — некоторые конечномерные гильбертовы пространства. Уравнение (10) для рассматриваемой обратной однослоистой гравиметрической задачи однозначно разрешимо относительно  $x$  [1, 4]. Однако в большинстве случаев вследствие присутствия ошибок  $\varepsilon$  и  $\eta$  правой части и оператора система (10) несовместима, т. е. разрешима не для всех  $b \in H_2$ . Поэтому вместо задачи (10) ставим задачу поиска квадратического приближения к элементу  $b$ , т. е. элемент  $x$  определяем из условия минимума функционала

$$f(x) = \|Ax - b\|_{H_2}^2. \quad (11)$$

Задача (11) обычно некорректно поставлена и для ее решения необходимо применять специальные алгоритмы. К таковым относятся алгоритмы, основанные на использовании сглаживающего параметрического функционала А. Н. Тихонова, итеративной регуляризации [3] и сингулярного разложения матрицы коэффициентов системы уравнений [6]. Среди отмеченных алгоритмов достаточно эффективен метод итераций с усреднением Бакушинского—Страхова [2]. Этот метод позволяет построить экономичную в вычислительном отношении схему решения уравнения (10).

Рассмотрим последовательность

$$\bar{x}_m = \frac{1}{m+1} \sum_{k=0}^m x_k, \quad m = 0, 1, 2, \dots, \quad (12)$$

где  $x_k$  определяется итерационным процессом Гаусса—Зейделя:

$$x_0 \in H_1,$$

$$x_k = x_{k-1} - (D + L)^{-1} [A^* b - A^* A x_{k-1}], \quad k = 1, 2, \dots \quad (13)$$

Здесь  $D$  означает диагональ матрицы  $A^* A$  и  $L$  — ее нижнюю треугольную часть. Последовательность (12) сильно сходится к одному из решений  $x$  уравнения (10) (в зависимости от  $x_0$  при  $\varepsilon = \eta = 0$ ). Если же  $\varepsilon = 0$  ( $\eta = 0$ ), то при  $m = m(\varepsilon)$  таком, что

$$\frac{m(\varepsilon)}{2} \varepsilon \rightarrow 0, \quad \varepsilon \rightarrow 0 \quad (14)$$

имеем  $\|\bar{x}_m - x\| \rightarrow 0$ , т. е. схема (12), (13) при выполнении асимптотики (14) порождает регуляризующий алгоритм. Останов процесса итераций выполняется по поправке

$$\|\bar{x}_m - \bar{x}_{m-1}\| \leq \varepsilon. \quad (15)$$

Следует отметить, что если для обратной задачи удается найти гармоническое решение, то его необходимо принять в качестве нулевого приближения  $x_0$ . Такой выбор  $x_0$  позволяет определить истинное математическое решение уравнения (10), составленного в пределах области неопределенности исходной обратной задачи.

**Определение горизонтальных плотностных неоднородностей в коре и верхней мантии Земли.** Апробирование описанного алгоритма решения ОЗГ выполнялось на примере определения горизонтальных плотностных неоднородностей в слое Земли, охватывающем ее кору и верхнюю мантию до глубины 420 км. Средняя плотность в этом слое вычислена по данным о распределении плотности в модели РЕМ—А [7] и составила  $\delta = 3,3864 \text{ г/см}^3$ . Весь верхний слой Земли разбивали по равномерной географической разграфке на 126 сферических усеченных четырехугольных и 36 треугольных пирамид, ограниченных координатными поверхностями с шагом  $\Delta\Theta^0 = \Delta\lambda^0 = 20^\circ$ . Для вычисления значений  $\Delta V_j'$  использовали модель гравитационного поля Земли GEM—10 В [9], усеченную до девятого порядка в соответствии с размерами оснований сферических пирамид на поверхности планеты. При этом за нормальное поле принято поле гидростатически равновесной Земли [5], т. е. коэффициенты  $\bar{c}_{20}^*, \bar{c}_{40}^*$  и  $\bar{c}_{60}^*$ , используемые в (8), вычислялись как  $\bar{c}_{20}^* = \bar{c}_{20} + J_2$ ,  $\bar{c}_{40}^* = \bar{c}_{40} + J_4$ ,  $\bar{c}_{60}^* = c_{60} + J_6$ , где  $J_2, J_4$  и  $J_6$  — зональные коэффициенты, характеризующие гидростатически равновесную планету. С учетом исходной информации и принятого деления верхнего слоя Земли на сферические усеченные пирамиды составлена система линейных уравнений вида (9), которую решали с применением алгоритма (12)–(15) с заданием нулевого гармонического приближения  $x_0$ . Устойчивость решения

системы (10) проверяли посредством задания датчиком случайных чисел возмущений порядка  $\eta \leq 5 \cdot 10^{-6}$  м/с<sup>2</sup> и  $\varepsilon \leq 1 \times 10^{-5}$  м/с<sup>2</sup> ( $\sim 4\%$  максимального значения  $\Delta V_j'$ ). В результате численных экспериментов по решению уравнения (10) получены стабильные результаты.

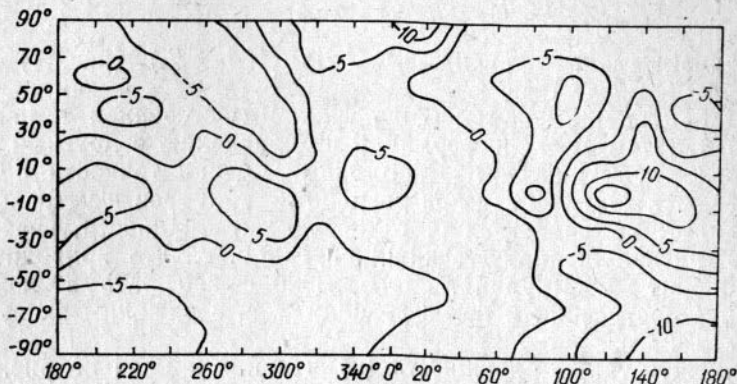
В таблице приведены значения плотностных неоднородностей в объеме усеченных сферических пирамид, вычисленные в гармоническом приближении и из решения уравнения (10). Поскольку известно [4], что значения плотностных неоднородностей, получаемые в гармоническом приближении, геологиче-

Значения плотностных неоднородностей в объеме сферических усеченных пирамид

$\frac{N_{\#} \pi / \pi}{\Delta \delta_i^0 \cdot 10^{-4} \text{ г/см}^3}$	$\bar{\Delta \delta}_i \cdot 10^{-4} \text{ г/см}^3$	$\frac{N_{\#} \pi / \pi}{\Delta \delta_i^0 \cdot 10^{-4} \text{ г/см}^3}$	$\Delta \bar{\delta}_i \cdot 10^{-4} \text{ г/см}^3$	$\frac{N_{\#} \pi / \pi}{\Delta \delta_i^0 \cdot 10^{-4} \text{ г/см}^3}$	$\bar{\Delta \delta}_i \cdot 10^{-4} \text{ г/см}^3$	$\frac{N_{\#} \pi / \pi}{\Delta \delta_i^0 \cdot 10^{-4} \text{ г/см}^3}$	$\Delta \bar{\delta}_i \cdot 10^{-4} \text{ г/см}^3$	$\frac{N_{\#} \pi / \pi}{\Delta \delta_i^0 \cdot 10^{-4} \text{ г/см}^3}$	$\bar{\Delta \delta}_i \cdot 10^{-4} \text{ г/см}^3$	$\frac{N_{\#} \pi / \pi}{\Delta \delta_i^0 \cdot 10^{-4} \text{ г/см}^3}$	$\bar{\Delta \delta}_i \cdot 10^{-4} \text{ г/см}^3$	$\frac{N_{\#} \pi / \pi}{\Delta \delta_i^0 \cdot 10^{-4} \text{ г/см}^3}$	$\bar{\Delta \delta}_i \cdot 10^{-4} \text{ г/см}^3$	
1	2	130	33	-22	-36	65	-1	0	97	29	60	129	13	20
2	11	27	34	24	49	66	-24	-54	98	51	100	130	8	26
3	0	38	35	27	39	67	9	30	99	41	84	131	-9	1
4	-10	39	36	8	12	68	10	37	100	20	41	132	-29	38
5	-16	29	37	9	7	69	-31	-70	101	-1	-2	133	-44	74
6	-17	12	38	-1	-12	70	-4	-6	102	16	45	134	-50	92
7	-13	2	39	-21	-37	71	27	56	103	2	9	135	-48	86
8	-71	-6	40	-31	-53	72	20	41	104	22	59	136	-42	72
9	-6	-18	41	-51	-117	73	22	37	105	33	80	137	-37	65
10	-6	-39	42	-16	-33	74	9	7	106	-5	-11	138	-34	58
11	-12	-66	43	19	49	75	-7	-13	107	6	22	139	-27	40
12	-21	-86	44	-26	-62	76	-45	-101	108	12	25	140	-13	10
13	-25	-78	45	-33	-59	77	21	39	109	6	10	141	-8	1
14	-18	-33	46	-20	-47	78	76	167	110	10	20	142	-10	12
15	0	29	47	-31	-71	79	71	136	111	15	40	143	-12	19
16	20	74	48	-23	-41	80	52	110	112	3	9	144	-17	16
17	29	76	49	-15	-19	81	27	51	113	-31	-65	145	-1	100
18	28	52	50	-47	-94	82	32	75	114	-44	-91	146	2	21
19	-5	-12	51	-40	-77	83	34	73	115	-28	-54	147	2	12
20	-18	-40	52	16	13	84	17	47	116	-8	-7	148	-1	9
21	-32	-61	53	19	35	85	23	46	117	-3	9	149	-18	39
22	-48	-96	54	4	1	86	45	97	118	-13	-10	150	-34	74
23	-53	-105	55	16	29	87	23	54	119	-22	-27	151	-48	106
24	-28	-50	56	19	49	88	5	12	120	-14	-12	152	-58	122
25	-7	-17	57	-4	-9	89	36	76	121	-17	-29	153	-60	120
26	-13	-43	58	-26	-59	90	34	66	122	-6	-8	154	-58	105
27	-9	-16	59	-6	-3	91	22	51	123	-6	-4	155	-52	86
28	0	20	60	19	23	92	2	3	124	-24	-39	156	-43	68
29	-6	7	61	34	63	93	14	26	125	-6	-11	157	-32	49
30	-26	-32	62	7	4	94	-4	-5	126	-3	-1	158	-20	31
31	-51	-95	63	8	11	95	-32	-36	127	-13	-37	159	-11	19
32	-58	-119	64	18	40	96	3	0	128	3	16	160	-6	12
												161	-4	7
												162	-4	5

Приложение: Сферические координаты центров прямоугольных трапеций заданы по равномерной сетке через  $20^\circ$ . Координаты центра первой трапеции равны  $\theta = 10^\circ$ ,  $\lambda = 19^\circ$ .

ски безсодержательны, то в таблице они приведены лишь для сравнения со значениями аномальных плотностей, вычисляемых посредством решения уравнения (10). На рисунке показаны в виде изолиний распределения аномальных горизонтальных плотностных неоднородностей  $\Delta\delta_i$ , которые наглядно иллюстрируют глобальные вариации латерального неоднородного распределения плотности верхнего слоя Земли, охватывающего кору и верхнюю мантию до глубины 420 км.



Горизонтальные неоднородности плотности в верхнем слое Земли толщиной 420 км. Изолинии проведены через  $5 \cdot 10^{-3}$  г/см<sup>3</sup>.

1. Алексидзе М. А. Решение некоторых основных задач гравиметрии. Тбилиси, 1985.
2. Бакушинский А. Б., Страхов В. Н. О решении некоторых интегральных уравнений I рода методом последовательных приближений // Журн. вычисл. математики и мат. физики. 1968. Т. 8. № 1. С. 181—185.
3. Верлань А. Ф., Сизиков В. С. Интегральные уравнения: методы, алгоритмы, программы. К., 1986.
4. Гравиразведка. Справочник геофизика / Под ред. Е. А. Мудрецовой. М., 1981.
5. Ефимов А. Б., Трубицын В. П. Гравитационные аномалии и равновесная фигура Земли // Изучение Земли как планеты методами астрономии, геодезии и геофизики. К., 1982. С. 7—11.
6. Лоусон Н., Уенсон Р. Численное решение задач метода наименьших квадратов. М., 1986.
7. Dziewonski A. M., Heles A. L., Lapwood E. R. Parametrically simple Earth models consistent with geophysical data // Phys. Earth Planet. Inter. 1975. V 10. P. 12—48.
8. Gerstl M. On the recursive computation of the integrals of the associated Legendre functions // Manuscr. geod. 1980. V. 5. N 3. P. 181—199.
9. Lerch F. J. Coddard Earth models for oceanographic applications (GEM 10 R and 10 C) // Mar. Geod. 1981. V. 5. N 2. P. 145—187.

Статья поступила в редакцию 03.04.87